

# Využití a porovnání metod stanovení $^{14}\text{C}$

*Světlík<sup>1,2</sup>, I., Černý<sup>1,3</sup>, R., Fejglová<sup>1</sup>, M., Tomášková<sup>1</sup>, L.*

<sup>1</sup> CRL ODZ ÚJF AV ČR, v.v.i., Na Truhlářce 39/64, 180 86 Praha 8

<sup>2</sup> SÚRO, v.v.i., Bartoškova 28, 140 00 Praha 4

<sup>3</sup> KDAIZ FJFI ČVUT, Břehová 7, 115 19 Praha 1

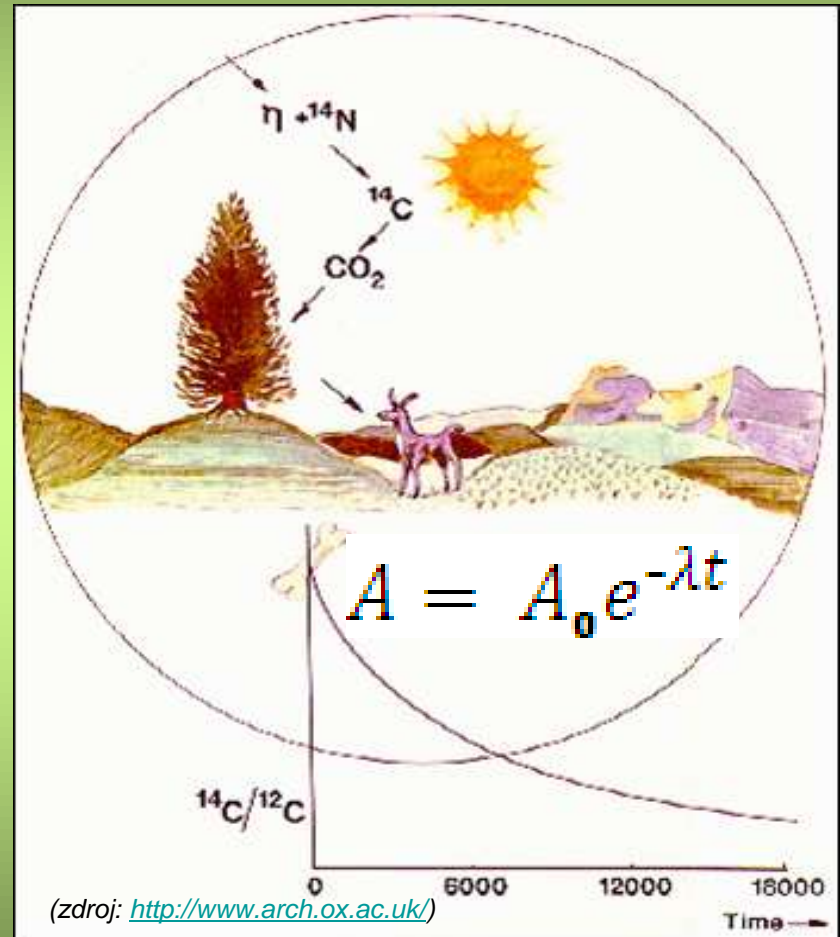
# Využití analýz $^{14}\text{C}$

- Radiouhlíkové datování
- Sledování vlivu spalování fosilních paliv na rostoucí koncentraci  $\text{CO}_2$
- Predikční modely - upřesnění parametrů transportu uhlíku a  $\text{CO}_2$  v současnosti a minulosti
- Sledování úrovně aktivity  $^{14}\text{C}$  v okolí jaderných elektráren
- Farmaceutické studie
- Ověřování přírodního původu potravin, farmaceutických a kosmetických preparátů

# Radiouhlíkové datování

- $^{14}\text{C}$  vzniká přirozeně v atmosféře z jader  $^{14}\text{N}$  na kterých jsou zachytávány nízkoenergetické neutrony generované kosmickým zářením, reakce  $^{14}\text{N}(n,p)^{14}\text{C}$
- Vzniklý  $^{14}\text{C}$  je následně oxidován na  $^{14}\text{CO}_2$
- $^{14}\text{CO}_2$  se podobně jako oxid uhličitý účastní přirozeného uhlíkového oběhu a vstupuje také do potravního řetězce
- Po vyloučení vzorku z uhlíkového oběhu postupně klesá aktivita  $^{14}\text{C}$  následkem radioaktivní přeměny
- Pokud předpokládáme poměrně stabilní výchozí aktivitu  $^{14}\text{C}$  ve vzorku, dokážeme vypočítat jak dlouho byl vzorek izolován z uhlíkového oběhu
- Pro upřesnění stáří vzorku používáme opravu na kolísání aktivity  $^{14}\text{C}$  v dobách minulých (tzv. radiouhlíkové kalibrační křivky, až do 50 tisíc let, např. IntCal09).

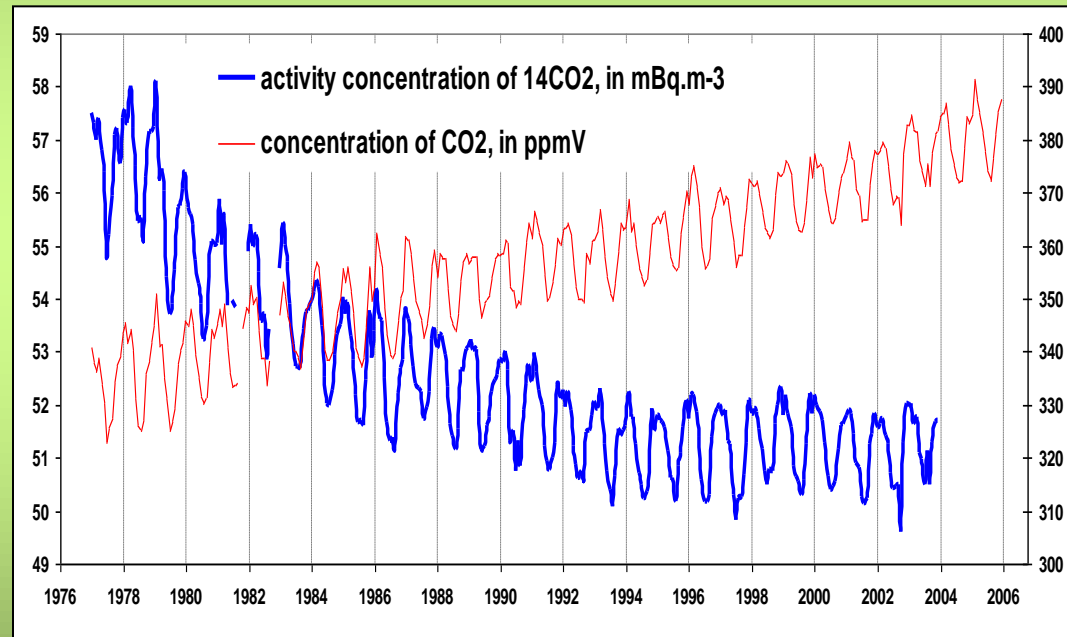
## Schéma vzniku a pohybu $^{14}\text{C}$



# Spalování fosilních paliv

- Isotopická směs fosilního uhlíku neobsahuje  $^{14}\text{C}$ .
- Z rozdílů aktivit atmosférického oxidu uhličitého v čisté oblasti (např. Jungfaujoch v Alpách) a v místech s lokální zátěží od **spalování fosilních paliv** proto můžeme vypočítat míru příměsi fosilního uhlíku na lokální a regionální úrovni (lokální a regionální Suessův efekt).
- Výpočtem objemové aktivity  $^{14}\text{CO}_2$  je možné sledovat průběh globálního Suessova efektu.

Časový průběh objemové aktivity atmosférického  $^{14}\text{CO}_2$  vypočtené s použitím dostupných výsledků ze stanice Schauinsland v Německu

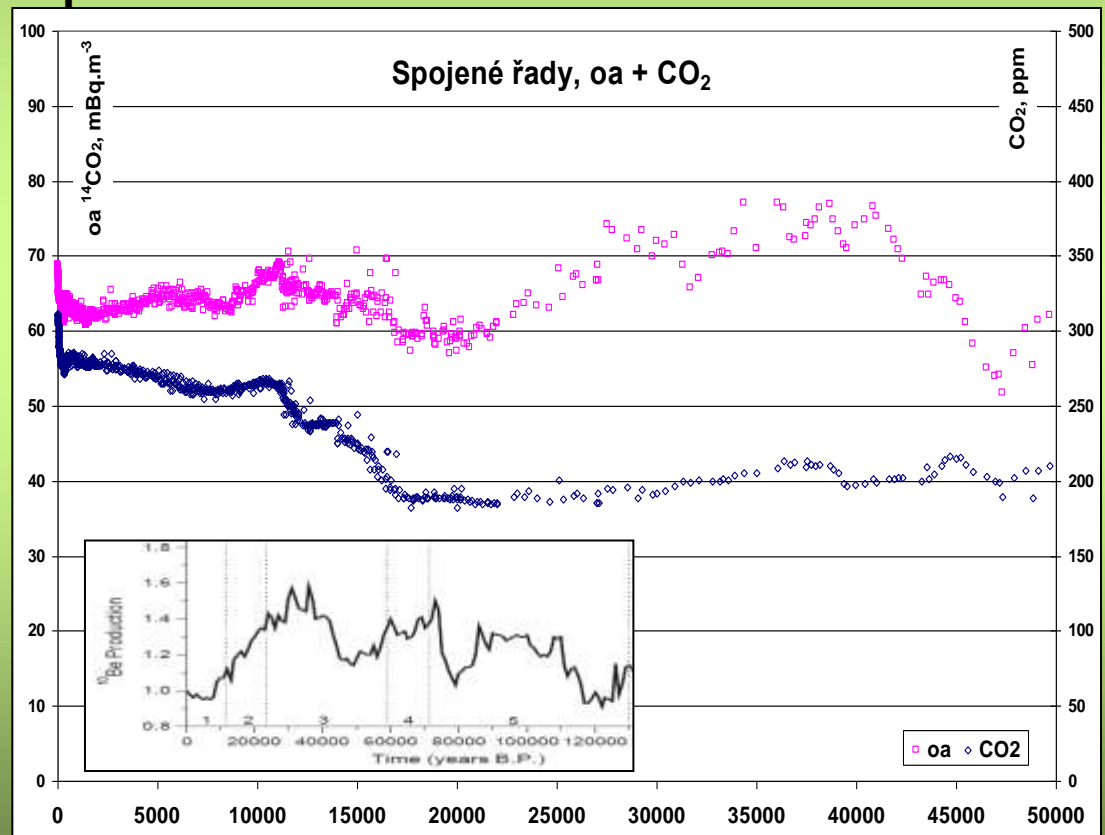


(zdroje: Levin a Kroner 2004,  
<http://gaw.kishou.go.jp/wdcgg/PlotData.php>,  
Svetlik et al. 2009)

# Parametry přirozeného pohybu uhlíku, $^{14}\text{CO}_2$ a $\text{CO}_2$ v dobách minulých

- Pro uhlíkové predikční modely je zapotřebí znát parametry související s pohybem uhlíku bez vlivu člověka.
- Pouze použití přesných matematických modelů může zabránit značným ztrátám plynoucím z podceňování či naopak přeceňování vlivu člověka na klimatické změny.

Změny koncentrace  $\text{CO}_2$  a obsahu  $^{14}\text{CO}_2$  (objemová aktivita) v atmosféře za posledních 50 tisíc let



(Zdroje: Reimer et al. 2009, NOAA 2012)

# Sledování $^{14}\text{C}$ v okolí JE

Z hlediska dávkové zátěže okolní populace je  $^{14}\text{C}$  **nejvýznamnějším** radionuklidem uvolňovaným JE do ovzduší za běžného provozu.

Okolí JE a referenční oblasti, 2007 – 2008, vzorky kopřiv,  $\Delta^{14}\text{C}$  (‰)

	EDU+ETE	Ref. oblasti
<b>2007, průměr</b>	<b>38,3</b>	<b>33,8</b>
<b>2007, směrodatná výběrová odchylka</b>	<b>4,9</b>	<b>6,6</b>
<b>2008, průměr</b>	<b>35,7</b>	<b>30,2</b>
<b>2008, směrodatná výběrová odchylka</b>	<b>4,7</b>	<b>2,3</b>

(Zdroj: Světlík et al. 2012)



# Další aplikace stanovení $^{14}\text{C}$

- Mikrodosing – farmakologické studie sledující v těle pohyb látek značených  $^{14}\text{C}$  o velmi nízkých koncentracích, tj. látky jsou pod prahem metabolické účinnosti.
- Chemická výroba organických sloučenin vychází z fosilních surovin (ropa, uhlí). Pro takové látky je zpravidla typická velmi nízká aktivita  $^{14}\text{C}$ . Některé potraviny, farmaceutické a kosmetické preparáty mohou být připravovány ze syntetických sloučenin, ačkoliv je deklarován přírodní původ takových preparátů.
- Kontrola zákonem nařízeného obsahu biosložky v kapalných palivech (např.: nafta – methylester řepkového oleje; benzín – etanol).

# Metody přesného stanovení $^{14}\text{C}$ - princip

**Cílem těchto metod je stanovit zastoupení  $^{14}\text{C}$  v uhlíkové isotopické směsi, obvykle s nejistotou řádu jednotek promile.**

- a) **Konvenční postupy (LSC, GPC):** počítání radioaktivních přeměn za časovou jednotku – aktivita je poté vztažena na gram uhlíkové isotopické směsi. Za tři dny měření můžeme pozorovat radioaktivní přeměnu od přibližně jedné milióntiny přítomných jader  $^{14}\text{C}$  (což je dáno poměrně dlouhým poločasem přeměny 5730 let).
- b) **Urychlovačová hmotnostní spektrometrie (AMS):** počítání atomů  $^{14}\text{C}$  v uhlíkové isotopické směsi na bázi AMS. V průběhu měření je spočítána podstatná část přítomných jader  $^{14}\text{C}$ .



# Metody přesného stanovení $^{14}\text{C}$ - parametry

Typické potřebné hmotnosti uhlíku od vzorku pro konvenční metody činí jednotky **gramů**, pro AMS jednotky **miligramů**. Špičkově pro AMS postačují pouze desítky mikrogramů uhlíku.

**Čím menší vzorek je zpracováván**, tím je náchylnější na možné ovlivnění:

- a) recentním uhlíkem (z aerosolových a prachových částic, případně atmosférický  $\text{CO}_2$ ) – aktivita vzorků se zdánlivě zvyšuje,
- b) fosilním uhlíkem (z reagensů a některých plastů) - aktivita  $^{14}\text{C}$  ve vzorku se tímto snižuje.

Datovatelná forma uhlíku je po izolaci a vyčištění převedena na  $\text{CO}_2$  (spalování, rozklad karbonátů). Přečištěný  $\text{CO}_2$  je poté převáděn do chemické formy vhodné pro měření. Společné pro konvenční metody i AMS.

# Konvenční metody stanovení $^{14}\text{C}$

a) **LSC** –  $\text{CO}_2$  od vzorku je převeden do formy benzenu cestou: syntézy karbidu lithného ( $\text{Li}_2\text{C}_2$ ), ze kterého je hydrolyzou připraven acetylén ( $\text{C}_2\text{H}_2$ ). Přečištěný acetylén je poté katalyticky trimerizován na benzen ( $\text{C}_6\text{H}_6$ ). Po uplynutí jednoho měsíce (vymření rušivého  $^{222}\text{Rn}$ ) je benzen dávkován do měřicích kyvet a dlouhodobě proměřován na nízkopozadovém kapalinovém scintilačním spektrometru.

b) **GPC** – Přečištěný  $\text{CO}_2$  je proměřován nebo dále převáděn na formu vhodnou k měření (v závislosti na konstrukci velkoobjemového plynového proporcionálního počítače  $\text{CH}_4$  nebo  $\text{C}_2\text{H}_2$ ).



# Stanovení $^{14}\text{C}$ cestou AMS

1. Grafitizace:  $\text{CO}_2$  od vzorku (spalování, rozklad karbonátů) je redukován na elementární uhlík, obvykle s použitím  $\text{H}_2$ . Zpravidla se používá pro hmotnosti uhlíku od dolních jednotek miligramů do horních stovek mikrogramů.
2. Přímé měření  $\text{CO}_2$ : vzorek je spálen a  $\text{CO}_2$  je veden na vstup urychlovače. Používá se pro hmotnosti v rozmezí od dolních stovek do cca 10 mikrogramů uhlíku od vzorku.

Z uhlíku od vzorku jsou při AMS měření generovány záporné ionty uhlíku, které jsou měřeny na principu hmotnostní spektrometrie.



Proč záporné ionty? Proč je k jejich měření zapotřebí speciální druh urychlovače se spektrometrickou trasou? Bude vysvětleno v následujícím příspěvku.

# Zpracování mikrovzorků v naší laboratoři

- Co bylo (je) zapotřebí se (na)učit:
- Provozování bezolejových vývěv 😊 ;
- Práce s křemenným sklem 😊 ;
- Mechanické operace se vzorky pod lupou (dosud v rozvoji);
- Výběr materiálů vhodných pro zpracování vzorků;
- Těsnost aparatur (alespoň na úrovni desetin Pa), ☹  
především se dosud vyskytuje problém s dostatečnou těsností reaktoru;
- Ultrafiltrace kolagenu (dosud ve stádiu experimentů);
- Zpracování dalších typů mikrovzorků (dosud bylo zavedeno pouze zpracování dřeva, uhlíků a kostí).

**Vlastní AMS měření námi připravených grafitizovaných vzorků bude realizováno ve spolupráci s vybaveným zahraničním pracovištěm, zejména ATOMKI HAS v Debrecenu.**

*Děkuji za pozornost*